

## DEPREMLERİN ÖNCEDEN BELİRLENMESİNDE RADON ÖLÇÜMLERİ

### MEASURAMENTS OF RADON CONTENT IN EARTHQUAKE PREDICTION

Yıldız ALTINOK - Oğuz GÜNDÖĞDU

I.Ü. Mühendislik Fakültesi, Jeofizik Mühendisliği Bölümü, İstanbul

**ÖZ:** Son 20 yıldan bu yana depremlerin önceden belirlenmesi çalışmaları içinde yeraltı suları ve toprakta radon miktarının ölçülmesi önem kazanmıştır. SSCB, ABD, Çin ve Japonya bu çalışmalarla öncülük etmiştir. Bu makalede, yapılan çalışmaların dikkate değer olanlar örnekleriyle gösterilmiştir. Ayrıca, Türkiye'de yapılan radonla ilgili çalışmalarla örnekleriyle yer verilmiştir. Bu konuda yapılan çalışmaların değerlendirilmesinde, radonun depremlerin önceden belirlenmesi çalışmalarında izlenmesi gereken bir parametre olduğu görülmektedir.

**ABSTRACT:** The radon concentration in groundwater and soil has been linked to earthquake prediction in the last two decades. Many studies have been conducted in USSR, USA, China and Japan on this subject. In this paper, the prominent studies on this field was selected and summarized. Turkish articles on the same subject were also reviewed. Consequently, it seems that radon one of the useful parameter for earthquake prediction research.

#### 1. GİRİŞ

İnsanlık tarihi boyunca toplumları en çok etkileyen ve korkutan doğal afetlerden birisi de depremdir. Gelişmişlik çizgisini aşan ve deprem etkinliği yüksek olan ülkeler, depremi olduktan sonra önlem gerektiren bir olgu olmaktan çıkarıp, korunma yönünden önceden önlemler alabilme aşamasına gelmişlerdir. Depremlerden korunmanın en etkili yollarından biri de depremlerin önceden belirlenmesidir. Bu konudaki çalışmalar 1970'den beri önem kazanmıştır. Bazı depremlerin önceden başarılı bir şekilde belirlendiği görüldükten sonra bu konuda çalışmalar artmıştır.

Depremin önceden belirlenmesi çalışmalarının yarar sağlaması, oluşacak depremin yeri, zamanı ve büyütüğünü belirli bir süre önce bildirmekle olanaklıdır. Bu çalışmalar yapılırken depremi önceden belirlemenin getireceği sosyal ve ekonomik sorunları da dikkate almak gerekmektedir.

Depremi önceden belirleme çalışmaları yaparken, geçmişte olmuş depremlere ait verilerle, depremden önce depremle ilgili doğal olayların döneminde oluşan değişimlerin saptanması amaçlanır.

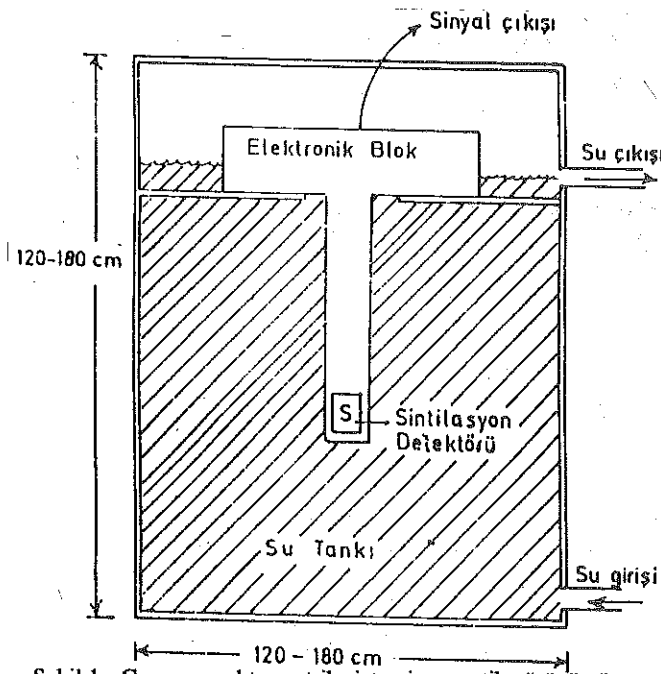
Depremlerin önceden belirlenmesi çalışmaları içinde gözleren fiziksel değişkenlerden biri de toprakta ve yeraltı sularındaki radon miktarıdır. Depremden önce raddonda gözlenen değişimler depremin önceden belirlenmesi çalışmalarında ümit verici görülmektedir.

Radon ( $Rn-222$ ) gazı, Uranyum-238 ailesinin gaz olarak bulunan tek elementi olup, bu ailenin 1600 yıl yarı ömürlü üyesi Radyum ( $Rn-226$ )'un bozulması sonucu oluşmaktadır. Radon ( $Rn-222$ ) 3.8 gün yarı ömürlü, suda kolay çözünen kimyaca pasif radyoaktif asal bir gazdır. Yerkabığında bulunan radon gazının bir kısmı aktif faylar yoluyla atmosfere yayılırken diğer taraftan yeraltı sularında uzunca bir süre taşınmaktadır. Yerkabığında depremden önce kayaçlardaki genişlemeler nedeniyle kayaçlardan yeraltı sularına ve toprağa radon gazı geçiş artmaktadır. (Göksel ve diğ. 1987).

#### 1.1 RADON ÖLÇÜMÜNDE YARARLANILAN TEKNİKLER:

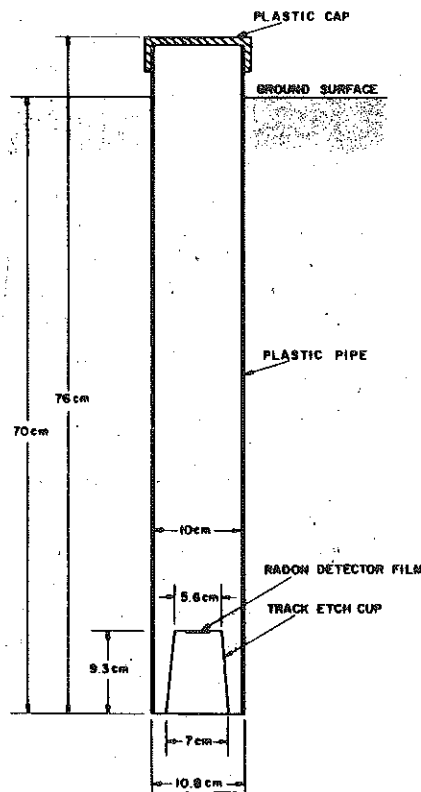
Genel olarak radon gazının ölçüm teknikleri iki grupta toplanabilir. Uranyum-238 ailesinden olan radon alfa parçacığı yayındığından gamma ışınları ile doğrudan saptanması olanaklı değildir. Bozulma ürünlerinden  $Pb-214$  ve  $Bi-214$ 'ün yaydığı gamma ışınlarıyla saptamak olanaklıdır. Bundan yararlanarak sularda sürekli radon izlemek amacıyla gamma spektrometrik sistem geliştirmiştir (Şekil 1). Sistemin büyük, karmaşık ve pahali olması uygulama tekniğinde zorluk getirmektedir (Göksel ve diğ. 1987).

Buna karşın, son yıllarda alfa parçacıklarına duyarlı pasif radon detektörleri önem kazanmıştır. Bu yolla, bardak biçiminde plastik kap içerisinde plastik bir film (sel-



Şekil 1: Gamma spektrometrik sistemin şematik görünümü (Göksel ve dig. 1987)

lüloz asetatlı, allil diglikol karbonatlı, vb) yerleştirilir. Bunlar yaklaşık 10 cm. çaplı ve 70 cm. derinlikteki sondaj çukurlarında bir hafta süre ile başsağlı bekletilir (Şekil 2).



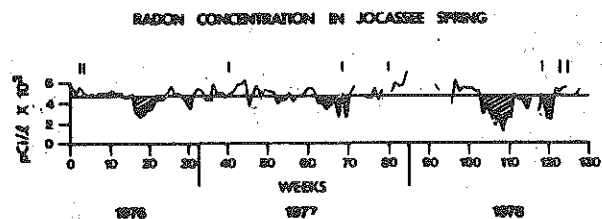
Şekil 2: Pasif radon dedektörünün şematik görünümü (King, 1980).

Topraktan yayılan radon gazı filmi etkilemektedir. Film geriye alındığında laboratuvara kimyasal iz kazma işlemi yapılarak görünen alfa parçacıklarının izleri mikroskop altında sayılır. ABD'de uygulanan bu yöntemin daha pratik ve ekonomik olduğu görülmektedir (Göksel ve dig. 1987).

## 2. RADON ÖLÇÜMÜ İLE İLGİLİ UYGULAMALAR:

Son yıllarda, ABD, SSCB, Çin ve Japonya'da yapılan çalışmalarla aktif fayların bulunduğu bölgelerde toprakta ve yeraltı sularındaki radon miktarında görülen değişimler depremin önceden belirlenmesini sağlayan haberçiler olarak değerlendirilmektedir.

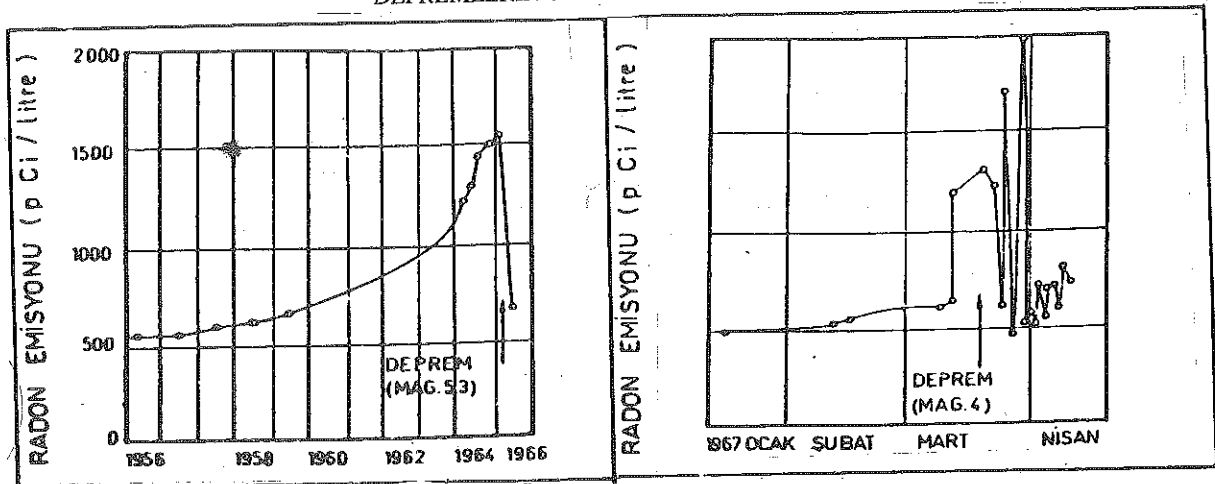
ABD'de, San Andreas Fayı boyunca 60 tan fazla istasyonda radon ile ilgili ölçümler yapılmış ve bölgede oluşan depremler arasında ilişki aranmıştır (King, 1980). Güney Kaliforniya'da 20 aylık bir süreyle kapsayan benzeri bir çalışma da Shapiro ve dig. (1980) tarafından yapılmıştır. New York, Blue Mountain Lake'de atmosferik olaylarla kontrol edilerek uzun süreli radon ölçümleri yapılmış ve bölgenin sismositesi ile karşılaştırılmıştır (Mogro-Campero ve dig. 1980). Talwani ve dig. (1980), Güney Kaliforniya'da Lake Jocasse su kaynağındaki radon anomalileri ile mikro depremler arasında ilişki aramışlardır (Şekil 3). Yine, Güney Kaliforniya'da San Jacinto Fayı'nda Birchard ve Libby (1980), toprakta radon ölçümü ile ilgili çalışmalar yapmışlardır. Sonuçta, yerkabuğunda sıkışmaların olduğu bölgelerde radon miktarının arttığını, genişlemelerin olduğu yerlerde ise radon miktarının azaldığının gözlemediği ileri sürülmüşlerdir.



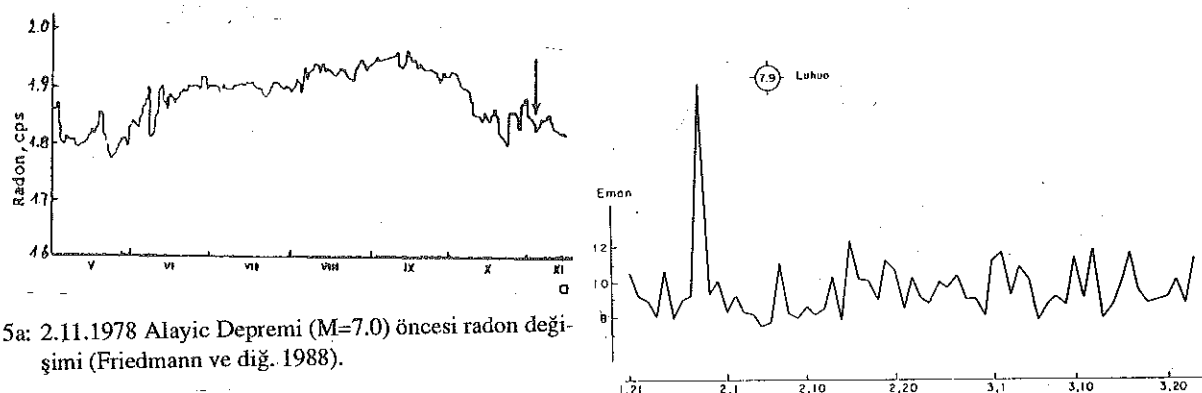
Şekil 3: Jocasse Kaynağındaki radon konsantrasyonunun mevsimlik değişimi (Mayıs 1976-Ekim 1978). Veriler haftalık ortalama değerlerdir. Dikey çizgiler  $M_L \geq 2.0$  olan depremlerin zamanlarını göstermektedir (Talwani ve dig. 1980).

SSCB'de kuyu sularında radon gazı miktarındaki değişim, ilk olarak 1966 ( $M=5.3$ ) ve 1967 ( $M=4.0$ ) Taşkent Depremleri öncesi ve sonrasında izlenmiştir (Scholz, 1973, Rikitake, 1976). Bu değişimler Şekil 4'de görülmektedir.

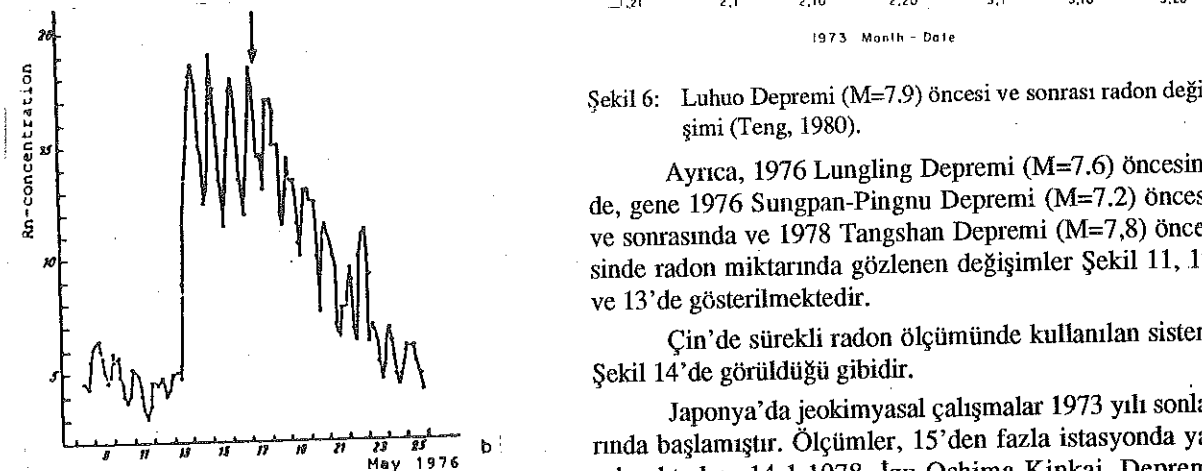
Ayrıca, SSCB'de 17.5.1976 Gazlı Depremi ( $M=7.1$ ) öncesi ve sonrası, 2.11.1978 Alayic Depremi ( $M=7.0$ ) öncesi yeraltı sularındaki radon değişimleri izlenmiştir (Şekil 5a ve 5b).



Şekil 4: 1966 ve 1967 Taşkent Depremleri öncesi ve sonrası radon değişimleri (Scholz ve dig., 1973)



Şekil 5a: 2.11.1978 Alayic Depremi ( $M=7.0$ ) öncesi radon değişimi (Friedmann ve dig., 1988).



Şekil 5b: 17.5.1976 Gazlı Depremi ( $M=7.1$ ) öncesi ve sonrası radon değişimi (Freidmann ve dig., 1988)

Çin'de bu konuda yapılan çalışmalara pek çok örnek vardır. Bunların en önemlileri arasında aşağıdakileri sıralayabiliriz. 1973 Luhuo Depremi ( $M=7.9$ ) öncesi ve sonrası kuyu ve kaynak sularında radon değişimi gözlenmiştir (Şekil 6). 4.2.1975 Haicheng Depremi ( $M=7.3$ ) öncesi ve sonrasıın radon değişimleri uzun, orta ve kısa süreli olarak birçok istasyonda izlenmiştir. Farklı istasyonlardaki radon değişimleri Şekil 7, 8, 9 ve 10'da görülmektedir.

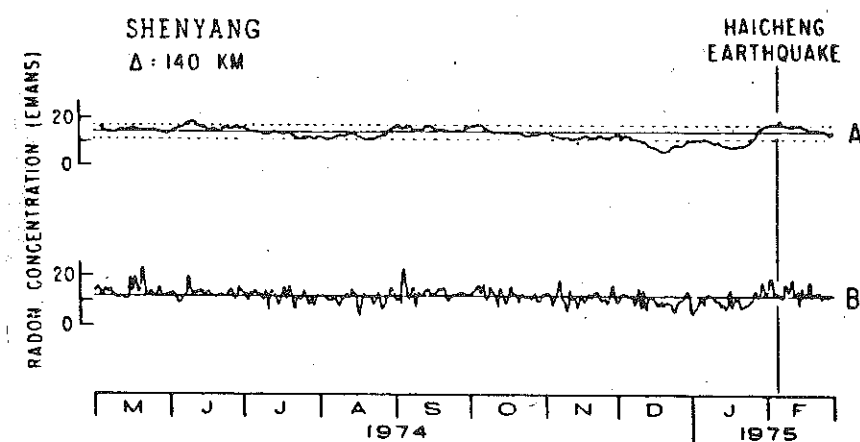
Şekil 6: Luhuo Depremi ( $M=7.9$ ) öncesi ve sonrası radon değişimi (Teng, 1980).

Ayrıca, 1976 Lungling Depremi ( $M=7.6$ ) öncesinde, gene 1976 Sungpan-Pingnu Depremi ( $M=7.2$ ) öncesi ve sonrasında ve 1978 Tangshan Depremi ( $M=7.8$ ) öncesinde radon miktarında gözlenen değişimler Şekil 11, 12 ve 13'de gösterilmektedir.

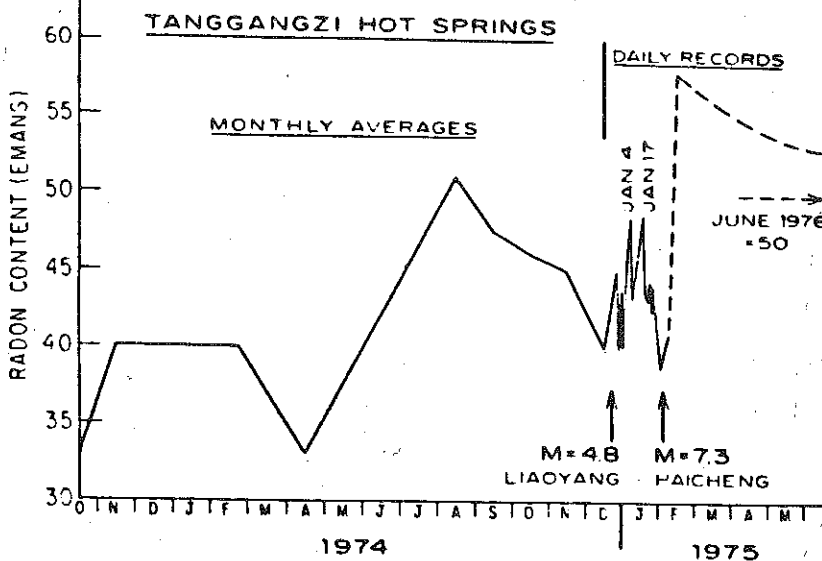
Çin'de sürekli radon ölçümünde kullanılan sistem Şekil 14'de görüldüğü gibidir.

Japonya'da jeokimyasal çalışmalar 1973 yılı sonlarında başlamıştır. Ölçümler, 15'den fazla istasyonda yapılmaktadır. 14.1.1978 Izu-Oshima-Kinkai Depremi ( $M=7.0$ ) radon ölçümü yapılan istasyonların yakınında olmuş ilk büyük depremdir (Wakita, 1980). Episanturdan 90 km uzaklıkta 5 istasyonda gözlenmiştir (Şekil 15).

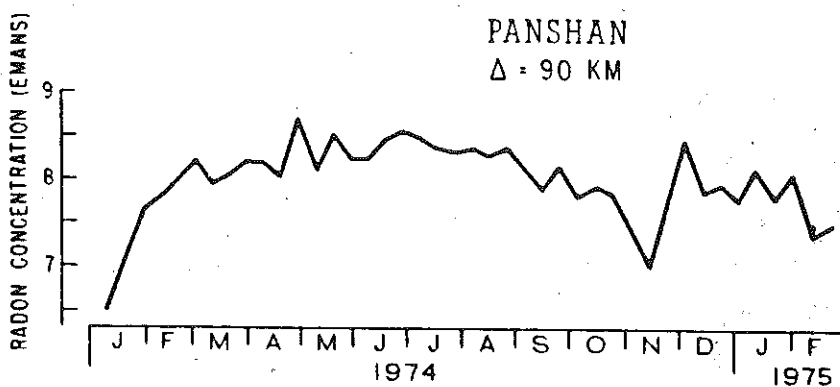
SKE-1 adlı 350 m derinlikte artezyen kuyusunda sürekli radon ölçümü yapılmıştır. Bu ölçümle ilgili radon değişimleri Mayıs 1977 ile Şubat 1978 arasında ikişer saatlik okumaların 9 noktadaki ortalamalarından yararlanarak çizilmiştir (Şekil 16). Şekilde görülen düz çizgi depremden önce ve sonraki mevsimlik değişimleri ayırmaktadır.



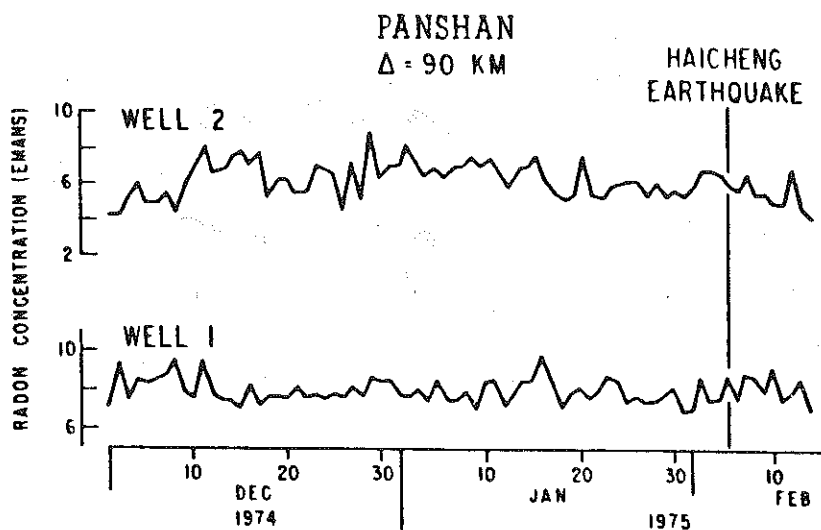
Şekil 7: Haicheng episantırma 140 km uzaklıktaki Shenyang sismik istasyonu yakınında bir kuyudaki radon değişimini, Aralık 1976'dan önce ortalama aktivite 10.40 emanstır. A eğrisinde (10 günlük hareketli ortalama) standart sapma 0.17, B eğrisinde (günlük değişim) 0.53 dür. Tireli çizgi  $\pm 2\sigma$  dir (Raleigh ve dig. 1977).



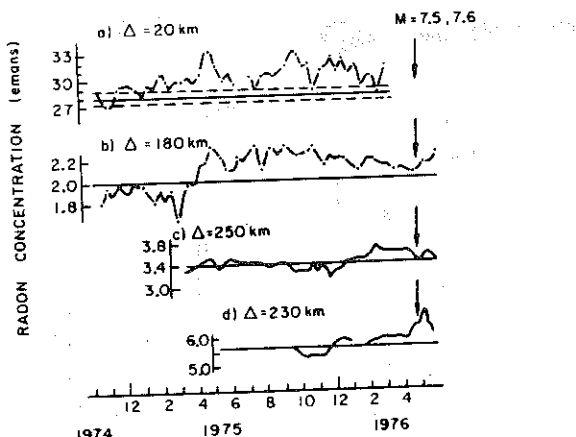
Şekil 8: Anshan'ın 10 km güneyinde Tanggangzi sıcak su kaynağındaki radon değişimi. Haicheng Depreminden sonra aktivite 58 emansa ulaşmıştır. Haziran ve Temmuz aylarında 53 emans civarındaki azalma, haziran 1976'da 50 emans civarındadır (Raleigh ve dig. 1977).



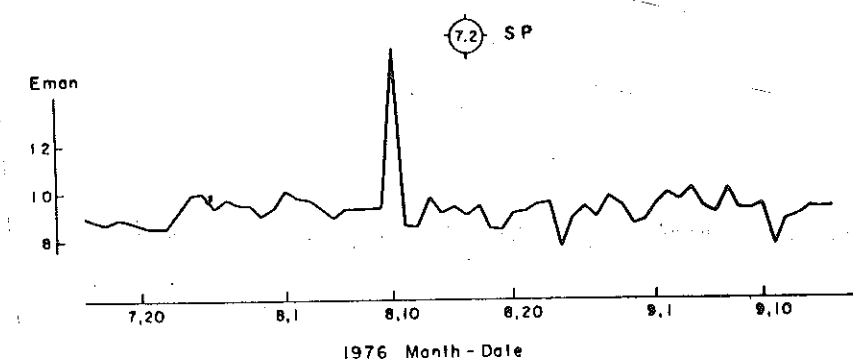
Şekil 9: Panshan sismik istasyonunda bir kuyuda uzun süreli 10 günlük ortalama radon aktivitesi (Raleigh ve dig. 1977).



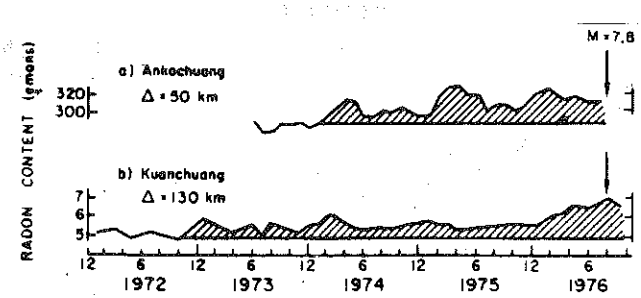
Şekil 10: Haicheng Depreminden önce Panshan'daki iki kuyuda günlük radon değişimleri (Raleigh ve diğ. 1977).



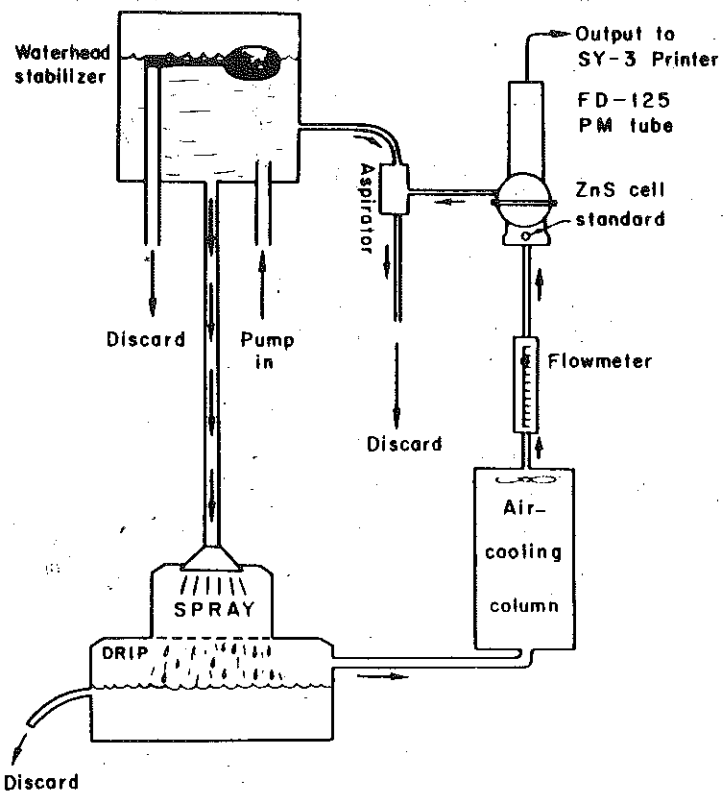
Şekil 11: 1976 Lungling Depreminden ( $M=7.6$ ) önce Yunan Bölgesindeki 4 istasyondaki yeraltı suyundaki radon değişimi. Yatay çizgi standart sapmayı gösterir. a) Lungling, b) Hsiakuan, c) Lantsang, d) Erhyuan (Teng, 1980).



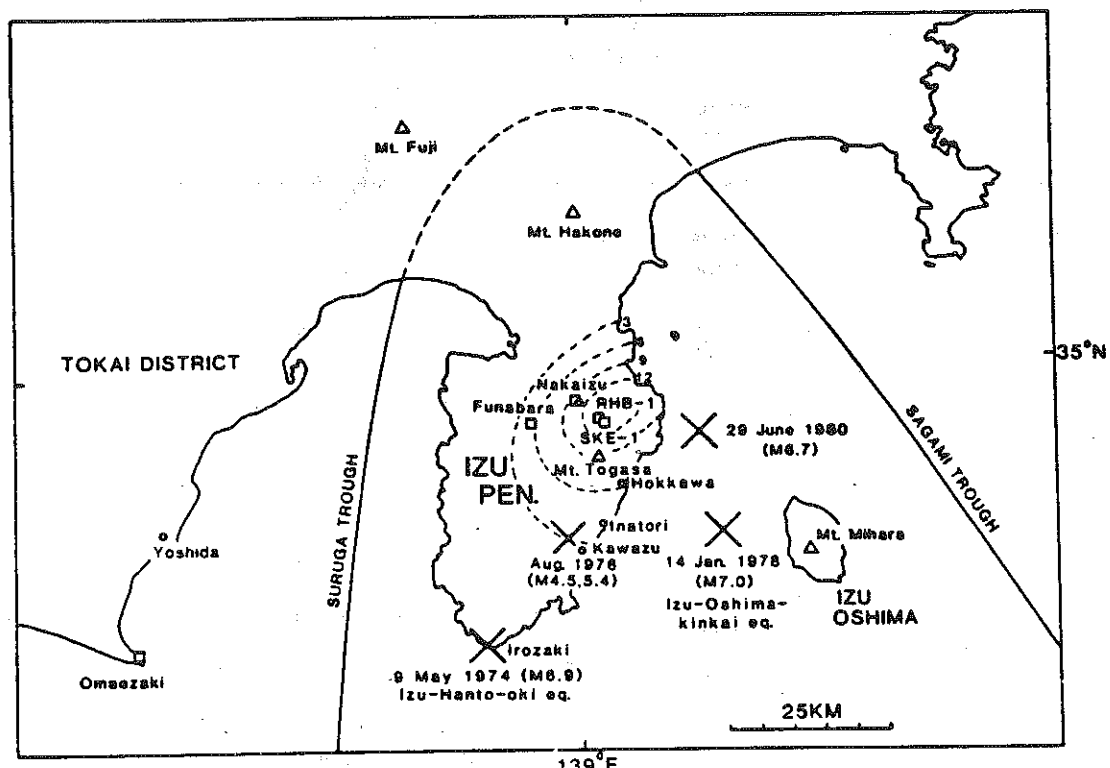
Şekil 12: 1976 Sungpan-Pingnu Depreminden ( $M=7.2$ ) önce ve sonraki radon değişimleri (Teng, 1980).



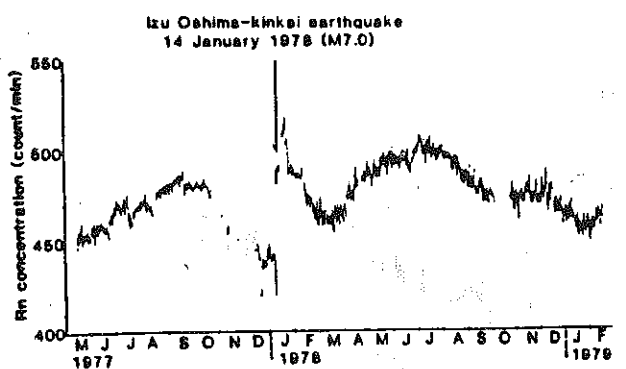
Şekil 13: 1978 Tangshan Depremi ( $M=7.8$ ) öncesi Ankochuang ve Kuanchuang'ta yeraltı suyundaki radon değişimi. Tarah alan ortalaması okumaları gösterir (Teng, 1980).



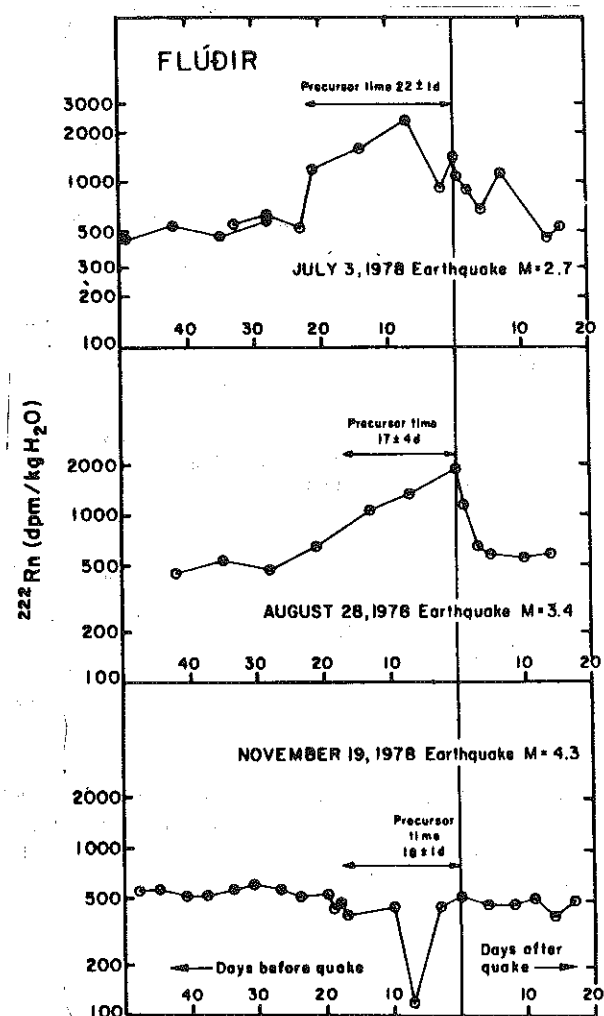
Şekil 14: Çin'de sürekli radon ölçümünde kullanılan sistemin şematik diyagramı (Teng, 1980).



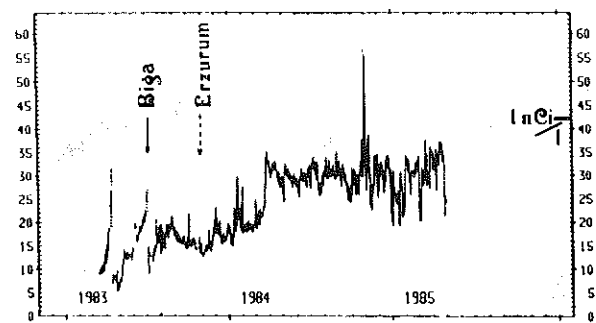
Şekil 15: (◊) Izu-Oshima-Kinkai Depreminin hebarcilerinin gözlemediği gözlem kuyularının lokasyonları, X, Izu-Hanto-Oki Depremi ( $M=6.9$ ), Kawazu Depremi ( $M=4.5, 5.4$ ), Izu-Oshima-Kinkai Depremi ( $M=7.0$ ), Doğu Izu-Hanto Depremi ( $M=6.7$ )'nın episantılarını göstermektedir. Yükselti kontur çizgileri (cm olarak) 1967-1969 aralığına aittir. (Crustal Dynamics Division, GST, 1976) (Wakita, 1980).



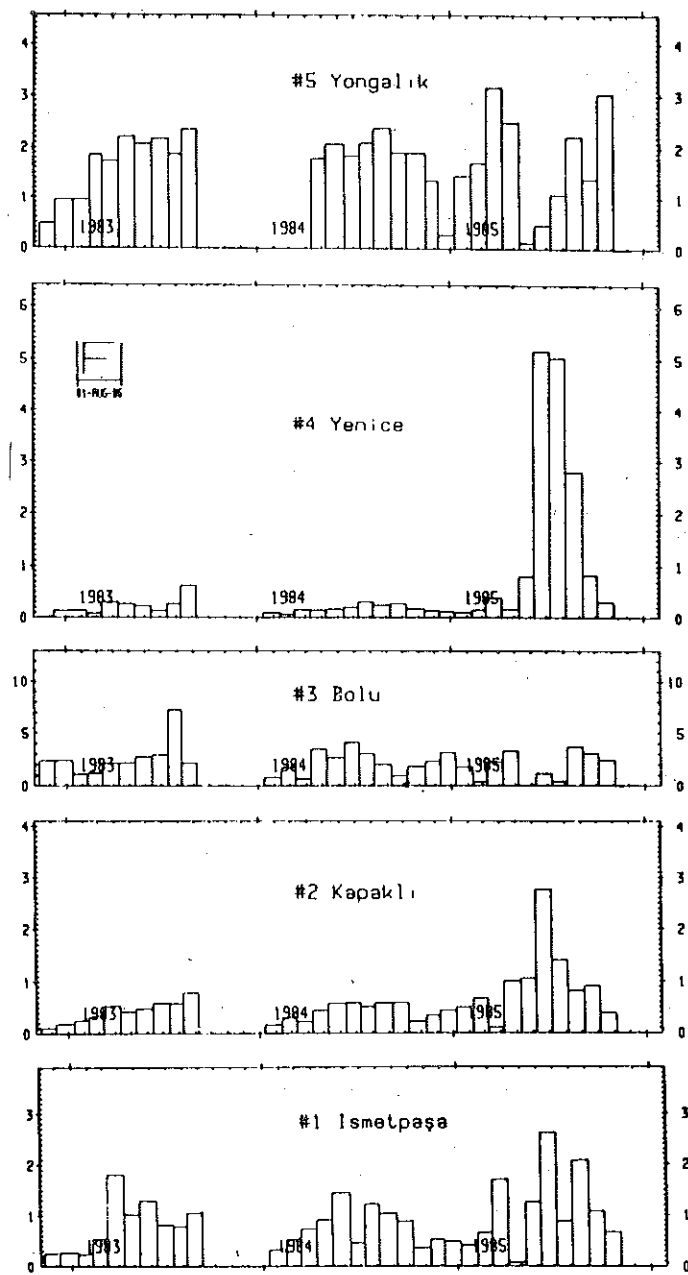
Şekil 16: 1978 Izu-Oshima-Kinkai Depreminden önce Nakaizu'da yeraltı suyunda gözlenen radon miktarındaki değişim. İkişer saatlik aralarla elde edilen verinin dokuz noktadaki kayan ortalaması grafiklenmiştir. Episantr uzaklığı 25 km'dir (Wakita, 1980).



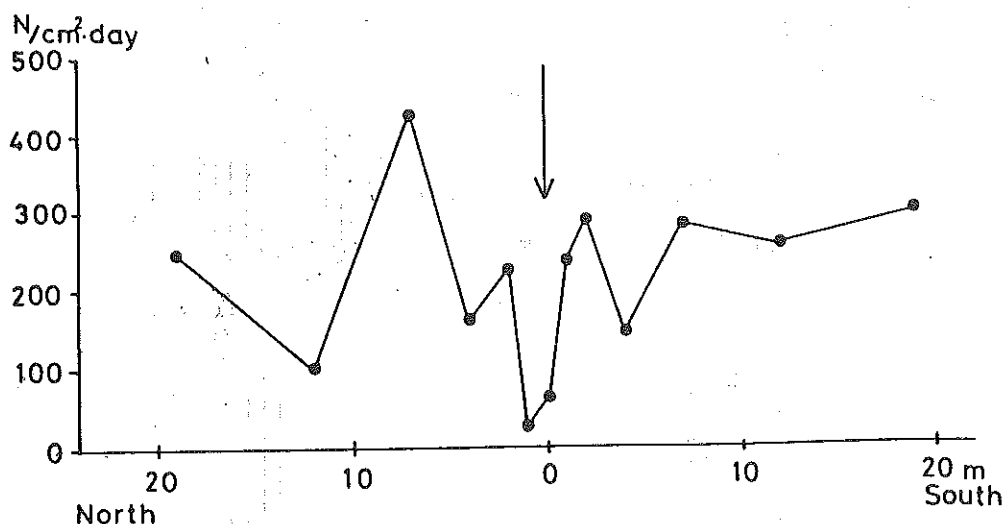
Şekil 17: Fludir İstasyonunda gözlenen radon anomalileri (Hauksson ve Goddard, 1981).



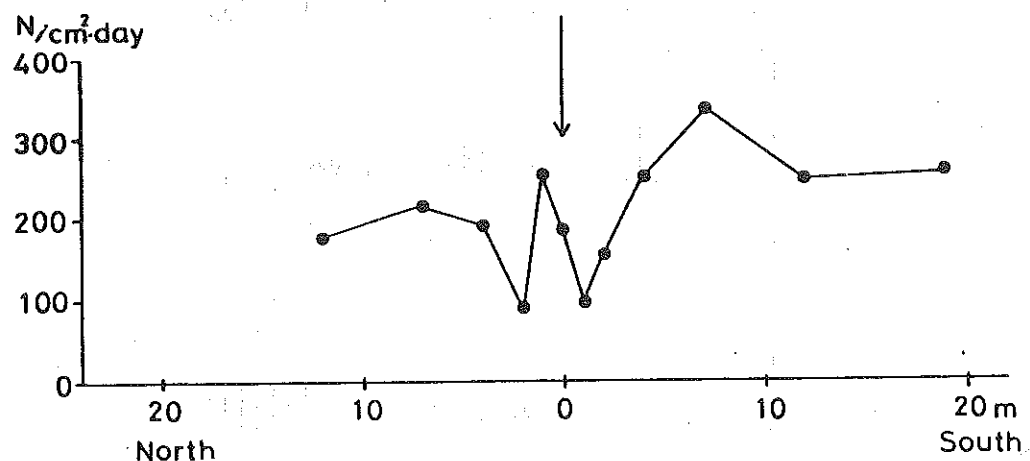
Şekil 18: Bolu'da su kaynağında saptanan radon değişimi (Friedmann ve dig. 1988).



Şekil 19: Kuzey Anadolu Fay Zonu boyunca 5 İstasyonda saptanan topraktı radon gazı değişimleri (birim:iz/2mm<sup>2</sup>/gün) (Friedmann ve dig. 1988).



Şekil 20a: Kuzey Anadolu Fay Zonu boyunca 5 İstasyonda saptanan topraktı radon gazi değişimleri (birim:iz/2mm<sup>2</sup>/gün) (Ohshiman, 1988).



Şekil 20b: B profili boyunca radon miktarını belirleyen izlerin dağılımı (Ohshiman, 1988).

SKE-1 yakınında 18 ve 26 Ağustos 1976'da Kawanou Depremleri ( $M=5.4$  ve  $4.5$ ), İzu-Hanto Depreminde ( $M=6.7$ ) ve İzu-Oshima-Kinkai Depreminin artçı şoklarında radon anomalisi gözlenmiştir.

Ayrıca, depremden önce SKE-1 de önemli bir değişim gözlemediği halde RHB-1'de anlamlı bir değişim gözlelmemiştir. RHB-1 hastaneye ait bir kuyu olduğundan, suyun büyük bir kısmı çeşitli zamanlarda pompalanmaktadır. Bu da depremle ilgili olası bir değişimini tanımamasını güçlendirmektedir.

İzu-Oshima-Kinkai Depreminden önce gözlenen radon miktarındaki değişimle çeşitli açıklamalar yapılmıştır. Bu açıklamalara göre, kuyunun yakınındaki artezyen tabakalarında oluşan deformasyonun etkin olduğu ağırlık kazanmıştır.

Ayrıca, İzlanda'da radon ölçümleri, içinde sıcak su kaynaklarının yeraldığı 9 istasyonda yapılmıştır (Hauks-

son ve Goddard, 1981). Bu çalışmada yazarlar, oluşacak depremin magnitüdü ile episanturdan itibaren radon anomalisinin olduğu uzaklık arasında (1)'deki bağıntıyı önermişlerdir.

$$M = 2.4 \log D - 0.43$$

İzlanda'daki Fludir İstasyonunda gözlenen radon anomalileri Şekil 17'de gösterilmektedir.

### 3. TÜRKİYE'DE YAPILAN ÇALIŞMALAR

Türkiye'de, radon (Rn-222)'nın sürekli ölçümlü 1983 yılından beri Bolu yakınlarında, Kuzey Anadolu Fay Zonu'nun 200 km'lik bir segmenti boyunca yapılmaktadır. Çalışmalar, yeraltı sularında ve toprakta radon ölçümü şeklinde iki yola gerçekleştirilmektedir. Yeraltı sularında radon ölçümü Mart 1983 ve Nisan 1985 arasında Bolu yakınlarında bir kaynaktı yapılmıştır. Ölçülerin yapıldığı sü-

re içerisinde 5 Temmuz 1983 Biga Depremi ( $M=5.7$ ,  $\Delta=350$  km) ve 30 Ekim 1983 Erzurum Depremi ( $M=6.0$ ,  $\Delta=800$  km) olmuştur. Bu tarihlerden önce yeraltı suyundaki radon miktarında artış gözlenmiştir (Şekil 18).

Ayrıca, 5 istasyonda topraktaki radon miktarındaki değişim gözlenmiştir (Şekil 19). Bu değişim ile yeraltı su-yundaki radon miktarı değişimi arasında belirgin bir ilişki görülememiştir.

Türkiye'de yapılan bir başka çalışma da Türk-Japon işbirliğinde gerçekleştirilen "Multidisciplinary Research on Fault Activity in the Western Part of the North Anatolian Fault Zone, adlı ortak proje içerisinde yapılmaktadır. İznik-Mekece arasındaki bölgede topraktaki radon miktarındaki değişimler 2 profil (A ve B profilleri) boyunca ölçülmüştür. Bu değişimler Şekil 20a ve 20b'de gösterilmektedir.

Ayrıca, Türkiye'de Türk-Alman işbirliğiince gerçekleştirilen bir proje çerçevesinde Adapazarı-Bolu arasındaki bölgede radon ölçümü araştırması sürdürülmektedir.

## **SONUÇ:**

Depremlerin önceden belirlenmesi çalışmalarında, yeraltı sularında ve topraktaki radon miktarının ölçülmesi ile ilgili bazı önemli çalışmalar gözden geçirilmiştir. SSCB, ABD, Çin, Japonya, İzlanda ile birlikte Türkiye'den de örnekler verilmiştir.

Verilen örneklerden, radon miktarının gerek yeraltı sularında gerekse topraktaki ölçümlerinde, genelde depremden önce az veya çok bir değişim gösterdiği izlenmiştir. Bu değişimlerin yer içindeki stress değişimi ile ilgili olabileceği düşünülebilir. Bu konuya ilgili açık bir mekanizma olmadığı halde, konuya açıklık getirmede yardımcı olabilecek uzun süreli ve daha fazla veri sağlayacak çalışmalarla ihtiyaç vardır. Bu çalışmaların yapılacağı yerin seçiminde, belli tektonik özellikteki bölgelerin seçilmesi ayrıca önemlidir.

Yapılan çalışmalardan elde edilen sonuçlara göre; rado-nun üzerinde çalışmaya değer bir parametre olduğu gö-rülmektedir. Ayrıca, depremlerin önceden belirlenmesinde ölçülen diğer parametrelerden çok daha ekonomik özelliği olması da bu görüşü destekleyici niteliktir.

## KAYNAKLAR:

**Birchard, G.F., Libby, W.F (1980) Soil Radon Concentration Changes Preceding and Following Four Magnitude 4.2-4.7 Earthquakes on the San Jacinto Fault in Southern California, J.Geophys. Res. 85 (B6), p.3100-3106.**

- Friedmann, H., Aric, K., Gutdeutsch, R., King, C-Y., Altay, C., Sav, H** (1988) Radon Measurements for Earthquake Prediction along the North Anatolian Fault Zone: a progress report, *Tectonophysics.*, 152, p. 209-214.

**Göksel, S., Köksal, E.M., Yaşar, S., Alkan, H** (1987) Radon Ölçümleriyle Depremlerin Önceden Saptanması, *Jeofizik.*, 1 (2), s. 176-182.

**Hauksson, E., Goddard, J.G** (1981) Radon Earthquake Precursor Studies in Iceland, *J. Geophys. Res.*, 86 (B8), p.7037-7054.

**King, C-Y** (1980) Episodic Radon changes in Subsurface Soil Gas Along Active Faults and Possible relation to Earthquakes, *J. Geophys. Res.*, 85 (B6), p. 3065-3078.

**Mogro-Campero, A., Fleischer, R.L., Likes, R.S.** (1980) Changes in Subsurface Radon Concentration Associated With Earthquakes, *J. Geophys. Res.*, 85 (B6), p.3053-3057.

**Ohshiman, N** (1988) Measurement of Radon Concentration in Soil Gas, Multidisciplinary Research on Fault Activity in the Western Part of the North Anatolian Fault Zone., Ed. Honkura, Y and Işıkara, A.M., Dept. App. Phy., Tokyo Ins. Tech. Tokyo, Japan.

**Scholz, C.H., Sykes, L.R., Aggarwal, Y.P** (1973) Earthquake Prediction: A Physical Basis, *Science.*, 181, p. 803-810.

**Shapiro, M.H., Melvin, J.D., Tombrello, T.A** (1980) Automated Radon Monitoring at a Hard-Rock Site in the Southern California Transverse Ranges, *J. Geophys. Res.*, 85 (B6), p.3058-3064.

**Raleigh, B., Bennett, G., Craig, H., Hanks, T., Molnar, P., Nur, A., Savage, J., Turner, R., Wu, F** (1977) Prediction of the Haicheng Earthquake, *Transaction, Am. Geophys. Uni.*, 58 (5), p. 236-273.

**Rikitake, T** (1976) Earthquake Prediction, Elsevier Scientific Publishing Company.

**Talwani, P., Moore, W.S., Chiang, J** (1980) Radon Anomalies and Microearthquakes at Lake Jocasse, South Carolina, *J. Geophys. Res.*, 85 (B6), p. 3079-3088.

**Teng, T-L** (1980) Some Recent Studies on Groundwater Radon Content as an Earthquake Precursor, *J. Geophys. Res.*, 85 (B6), p. 3089-3099.

**Wakita, H** (1981) Precursory Changes in Groundwater Prior to the 1978 Izu-Oshima-Kinkai Earthquake, *Earthquake Prediction an International Review.*, Ed. Simpson, D.W., Richards, P.G Maurice Ewing Series 1., Am. Geophys. Uni., Washington D.C.